

بررسی خواص مکانیکی و عمر خستگی ورق‌های آلمینیوم ۵۰۸۳ حاصل از فرایند نورد در کانال‌های همسان زاویه‌دار (ECAR)

محمد صدیقی* (استاد)

پهمان منشی (دانشجوی کارشناسی ارشد)

جلال جودکی (دانشجوی دکتری)

دانشکده‌ی مهندسی مکانیک، دانشگاه علم و صنعت ایران

sedighi@iust.ac.ir
p_monshi@mecheng.iust.ac.ir
joudaki@iust.ac.ir

واژگان کلیدی: نورد در کانال‌های همسان زاویه‌دار، استحکام کششی، عمر خستگی، خواص مکانیکی.

۱. مقدمه

می‌توان نتیجه گرفت که مواد دانه‌ریز در مقایسه با مواد دانه‌درشت، استحکام بیشتری دارند.

۲. این مواد به علت لغزش مرzdane‌یی یا چرخش در دانه‌ها خواص سوپرپلاستیسیته‌ی منحصر به فردی از خود نشان می‌دهند.^[۱] به علت افزایش طول مرzdane‌ها در مواد نانوکریستالی ساختار مرzdane در این نوع مواد بسیار مهم است. تغییر شکل شدید باعث افزایش چگالی نابه‌جایی‌ها می‌شود، و حضور برخی از نابه‌جایی‌ها مانع حرکت سایر نابه‌جایی‌ها خواهد شد. در همین زمان، مرzdane‌ها از سازوکارهایی در تغییر شکل پیروی می‌کنند که معمولاً در ساختارهای دانه‌درشت وجود ندارد. این سازوکارها عبارت‌اند از: لغزش مرzdane، چرخش دانه و خوش نفرذی در مرzdane‌ها.^[۲]

برخی دیگر از خواص این مواد عبارت‌اند از: استحکام تسلیم و استحکام نهایی بسیار بالا، چقرمگی و درصد از دیدار طول کاهش یافته، سختی بالا، افزایش مقاومت نسبت به آسیب، قابلیت شکل‌بندی پریزی سوپرپلاستیک بهبود یافته در دماهای پایین، نزد کرنش‌های سریع تر و مقاومت به سایش بسیار عالی.^[۳] انتظار می‌رود که سختی بالاتر در مواد نانوکریستالی موجب افزایش مقاومت به سایش در آن‌ها شود.

معمولًا موادی با اندازه دانه‌ی ۱ میکرومتر با زیر ۱ میکرومتر را با دانه‌های فوق ریز (UFG)^[۱]، موادی با اندازه دانه‌ی ۱۰ تا ۱۰۰ نانومتر را مواد نانوکریستالی می‌نامند. در سال‌های اخیر محققین توجه زیادی به مواد با دانه‌های فوق ریز داشته‌اند و مطالعات فراوانی برای بررسی خواص این مواد انجام شده است.^[۱]

از مهم‌ترین دلایل افزایش روزافزون تحقیقات درباره‌ی مواد با دانه‌های فوق ریز می‌توان به دو مورد اشاره کرد:

۱. استحکام‌بخشی مرzdane‌یی (رابطه‌ی هال - پچ) در تمام آلیاژها منجر به استحکام‌بخشی در دمای اتاق می‌شود:

$$\sigma_y = \sigma_0 + kd^{-m} \quad (1)$$

در این رابطه، σ_y تنش تسلیم، σ_0 تنش مشخصه‌ی مقاومت به حرکت نابه‌جایی‌ها در دانه‌ها، k ثابت وابسته به سازوکار انتقالی لغزش در مرzdane، d اندازه دانه و m ثابت ماده است که تقریباً برابر با ۵/۵، و وابسته به نوع آلیاژ است. این رابطه

* نویسنده مسئول

تاریخ: دریافت ۱۹/۱/۱۳۹۴، اصلاحیه ۳۱، پذیرش ۳/۶/۱۳۹۴.

پایین تر هستند، به طوری که تنفس تسليم از حدود ۱۲۰ مگاپاسکال تا حدود ۷۵ مگاپاسکال افزایش می‌یابد. در عبورهای بالاتر ECAR استحکام‌های کششی و تسليم در نمونه اندکی کاهش می‌یابد. در فرایند ECAR، درصد افزایش طول کاهش قابل ملاحظه‌ی (حدود ۶٪ تا سه عبور) دارد. سپس این روند تند به کاهش ناچیز درصد افزایش طول نسبی تا ۱۵ عور غیر می‌کند. مطالعات بعدی^[۴] نشان داد که

میزان افزایش طول به طور پیوسته با افزایش تعداد عبورها کاهش می‌یابد. در ارزیابی و بهینه‌سازی رفتار خستگی مواد ریزاساختار مختلف حاصل از فرایند پرس در کانال‌های همسان زاویه‌دار^[۱۰] آزمون‌های خستگی براساس روش کرشن - کنترل و روی آلیاژهای Cu, Al, Al ۶۰۶۱ و brass - α انجام شد. به طور عام، مواد ریزاساختار بررسی شده در خستگی کم‌چرخه نسبت به مواد با اندازه‌دانه‌های معمولی عمر کمتری دارند. نتایج حاصل از بررسی رفتار چرخه‌ی تیتانیوم خالص تجاری ریزدانه که طی فرایند ECAP به دست آمده^[۱۱] نشان می‌دهد که برخلاف آلیاژهای مس و آلومینیوم ECAP که در خواص خستگی کم چرخه افت دارند، تیتانیوم افت محسوسی از خود نشان نمی‌دهد و رفتار ریزدانه و درشت‌دانه‌ی آن در نمودار کافین - مانسون تقریباً یکسان است.

هدف اصلی مطالعه‌ی حاضر، بررسی اثرات فرایند نورد در کانال‌های همسان زاویه‌دار (ECAR) بر خواص مکانیکی و عمر خستگی ورق‌های آلومینیومی حاصل از این فرایند است. در ابتدا نحوه تولید ورق‌های ECAR توضیح داده می‌شود و سپس نحوه آماده‌سازی و انجام آزمون‌های کشش یکنواخت، آزمون سختی سنجی و آزمون‌های چرخه‌ی (خستگی) با روش کرشن - کنترل روی آلیاژ آلومینیوم Al ۵۰۸۳ تشریح می‌شود و در پایان ضمن ارائه نتایج به دست آمده، به بحث و بررسی درباره‌ی آن خواهیم پرداخت.

۲. مواد و روش آزمایش

مواد مورد استفاده در این مطالعه عبارت است از ورق ۲ میلی‌متری آلیاژ آلومینیوم ۵۰۸۳ که ترکیب شیمیایی آن در جدول ۱ نشان داده است. ورق‌ها ابتدا برای انجام فرایند نورد در کانال‌های همسان زاویه‌دار در ابعاد $2 \times 50 \times 50$ میلی‌متر (عرض \times ارتفاع \times طول) بریده شد و سپس برای حذف اثرات کارسختی قبلی و تأثیرات ناشناخته و همچنین کمینه‌سازی تنش‌های پسماند، پیش از انجام فرایند به مدت یک ساعت در دمای ۴۵ درجه سانتی‌گراد تحت عملیات حرارتی بازپخت (آنیلینگ) قرار گرفتند.^[۱۲]

پارامترهای فرایند نورد در کانال‌های همسان زاویه‌دار که در شکل ۱ نشان داده شده عبارت است از: ضخامت کanal ورودی و خروجی برابر ۲ میلی‌متر، ϕ زاویه‌ی کانال قالب برابر ۱۲۰ درجه، و ψ زاویه‌ی گوشی خروج از قالب برابر صفر است. ضخامت ورق‌های ۲ میلی‌متری با عبور از بین غلتک‌های نورد به ۱/۹۵ کاهش می‌یابد، اما پس از عبور از منطقه‌ی تغییر شکل دوباره به ضخامت اولیه برمی‌گردد. در این مطالعه سرعت تغذیه برابر 3 m/min بوده و ورق‌های آلومینیومی تا ۳ بار عبور نورد شده است. همچنین مسیر c برای انجام این فرایند انتخاب شد که در آن، ورق‌ها پس از هر بار عبور به میزان ۱۸۰ درجه نسبت به محور x (راستای نورد)

جدول ۱. ترکیب شیمیایی آلیاژ آلومینیوم ۵۰۸۳ (درصد وزنی).

عنصر	Si	Fe	Cr	Mn	Mg	Al
درصد وزنی	۰/۱۵	۰/۱۵	۰/۷۵	۰/۱۵	۰/۱۵	۰/۱۵

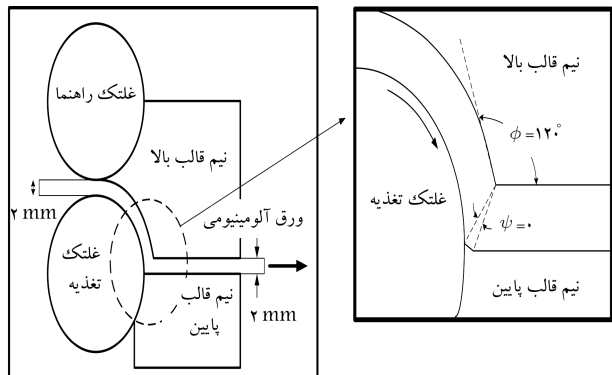
یکی از موفق‌ترین روش‌ها در تولید مواد نانوکریستالی، روش تغییر شکل پلاستیک شدید^[۲] است که در آن، ماده تحت کرشن‌های بسیار زیاد قرار می‌گیرد، بدون این که تغییر چندانی در ابعاد عرضی اتفاق بیفتد. معمولاً اندازه دانه‌ی موادی که تحت فرایند‌های تغییر شکل پلاستیک شدید قرار می‌گیرند در محدوده‌ی ۱۰۰۰ تا ۱۰۰ نانومتر است.^[۳]

فرایند نورد در کانال‌های همسان زاویه‌دار (ECAR)^[۳] برای اعمال کرشن‌های زیاد به منظور ایجاد تغییر شکل پلاستیک شدید در ورق‌های فلزی به کار گرفته می‌شود. اساس این سازوکار بر اعمال تغییر شکل برشی در ماده است، به گونه‌یی که هیچ تغییری در سطح مقطع عرضی نمونه‌ی ایجاد نشود.^[۴] تصویر شماتیکی از فرایند ECAR در شکل ۱ نشان داده شده است که در آن ϕ زاویه‌ی کانال قالب و ψ زاویه‌ی گوشش خارجی قالب است.^[۴] در این فرایند اصطکاک میان ورق و غلتک‌های نورد باعث حرکت ورق به درون کانال می‌شود. دو کانال با سطح مقطع‌های برابر به عنوان کانال‌های ورودی و خروجی محسوب می‌شوند که با یکدیگر به اندازه‌ی ϕ (ممولاً بین ۹۰ درجه تا ۱۵۰ درجه) زاویه می‌سازند. زاویه‌ی دیگر (ψ)، که مشخص‌کننده‌ی انحنای گوششی زاویه‌دار خارجی قالب است نیز معمولاً بین صفر تا ۱۸۰ درجه تغییر می‌کند. تغذیه‌ی ورق با استفاده از غلتک‌های نورد علاوه بر پیوستگی فرایند، تبدیل انواع مختلف ورق را به ابعاد نهایی مورد نیاز ممکن می‌سازد.

برای پیش‌بینی کرشن برشی ایجاد شده بر اثر فرایند پرس در کانال‌های همسان زاویه‌دار (ECAP)^[۴] معادله‌یی پیشنهاد شده است (معادله‌ی سیگال)،^[۵] اما وقتی مقاطع کانال‌های ورودی و خروجی دقیقاً مشابه نباشند این معادله نمی‌تواند به طور دقیق کرشن برشی ناشی از ECAR را پیش‌بینی کند. بنابراین با تصحیح معادله از طریق ایجاد پارامتر k ، نسبت ضخامت کانال داخلی به ضخامت کانال خارجی، می‌توان این معادله را برای فرایند ECAR نیز به کار برد. طبق مدل تصحیح شده‌ی سیگال برای فرایند ECAR، کرشن مؤثر (زیگ) مطابق رابطه‌ی ساده‌ی ۲ تعريف می‌شود.^[۵]

$$\varepsilon_{eff} = \frac{2N}{\sqrt{3}} k^2 \cot\left(\frac{\phi}{2}\right) \quad (2)$$

عوامل مختلفی -- نظری ضربی اصطکاک میان سطوح تماس، سرعت و مسیر انجام فرایند و لقی کانال‌ها -- بر خواص ورق‌های ECAR مؤثر است. در این خصوص نیز در مورد تأثیر فرایند ECAR بر خواص مواد مطالعاتی صورت گرفته است. در بررسی تأثیر فرایند ECAR بر خواص مکانیکی و قابلیت رسانایی مس خالص،^[۶] منحنی‌های تنش - کرشن نشان‌گر استحکام بالاتر و درصد افزایش طول



شکل ۱. نمای شماتیک فرایند ECAR: ϕ زاویه‌ی کانال قالب و ψ زاویه‌ی گوشه خارجی قالب است.

تغییرات کرنش اعمالی نسبت به زمان در طول آزمون، یکسان و به صورت موج مثنی در نظر گرفته شد. ده آزمون خستگی با نسبت کرنش (نسبت حداقل کرنش به حداچر کرنش) ثابت برابر 75° و با دامنه‌های کرنش مختلف انجام پذیرفته است. تمامی نمونه‌ها پیش از انجام آزمون، به منظور رفع عیوب سطحی، پرداخت دستی شده‌اند. برای این کار به ترتیب از ورق‌های سنباده‌ی 1200 و 1600 استفاده شد. به عملت پراکنندگی داده‌ها در آزمون خستگی، در هر سطح کرنش دو نمونه مورد آزمون قرار گرفت. تمامی آزمون‌های کششی و خستگی در دما و شرایط محیط آزمایشگاهی انجام شده است و فرکانس بارگذاری برابر $5^{\circ}/\text{Hz}$ بوده است.

۴. نتایج و بحث

در شکل ۴ تغییرات استحکام تسلیم، استحکام کششی نهایی و درصد ازدیاد طول بر حسب تعداد عبورهای مختلف فرایند نورد در کانال‌های همسان زاویه‌دار نشان داده شده است. چنان‌که مشاهده می‌شود، پس از انجام فرایند نورد در کانال‌های همسان زاویه‌دار، استحکام کششی نهایی افزایش و درصد ازدیاد طول کاهش یافته است. پس از عبور اول، استحکام تسلیم افزایش قابل توجهی (حدود 54%) نشان می‌دهد، در حالی که استحکام کششی نهایی تغییرات چندانی نمی‌کند و فقط تراز 1 درصد افزایش می‌یابد. پس از عبور اول نیز استحکام تسلیم افزایش می‌یابد اما با نرخی کمتر از عبور اول. استحکام تسلیم پس از سه عبور نسبت به نمونه‌ی بازپخته (آنلی شده) حدود 97% افزایش می‌یابد اما استحکام کششی نهایی فقط نشانگر 15% شده است. سبب افت محسوس ازدیاد طول نمونه (41%) کاهش پس از سه عبور می‌شود. طبق رابطه‌ی 1 ، با تغییر اندازه دانه‌ها استحکام تسلیم نیز تغییر می‌کند و با ریزشدن دانه‌ها استحکام تسلیم افزایش می‌یابد. افزایش استحکام تسلیم و استحکام کششی نهایی در عبور اول هم ناشی از فرایند کرنش سختی و تجمع نابهایی‌ها و هم ناشی از ریزدانه شدن است. با انجام فرایند نورد در کانال‌های همسان زاویه‌دار تا سه عبور، کرنش پلاستیک بالایی به ماده اعمال می‌شود که سبب کاهش اندازه دانه‌ها و افزایش تعداد دانه‌ها با زاویه‌ی بالا می‌شود.^[۱۵] افزایش چگالی نابهای‌ها، کاهش اندازه دانه‌ها و سخت‌شوندنگی کرنشی نقش اصلی را در افزایش استحکام ماده در عبورهای بعدی ایفا می‌کند.^[۱]

فرایند نورد در کانال‌های همسان زاویه‌دار باعث القای توزیع نتش برشی بسیار پیچیده و شدید در نمونه می‌شود، به طوری که کرنش معادل فرایند عدد قابل توجهی

می‌چرخدند. در شکل ۲ ورق آلمینیومی بازپخته (آنلی شده) و ورق‌های تحت فرایند در عبورهای 1 ، 2 و 3 نشان داده شده است. چنان‌که مشاهده می‌شود به عملت کرنش پلاستیک اعمالی، ورق‌ها پس از خروج از قالب مقدار کمی اینجا دارند. براساس رابطه‌ی 2 و مشخصات گفته شده برای فرایند نورد، در هر عبور کرنشی معادل 58° به ماده اعمال می‌شود. پس از هر عبور این کرنش‌ها اینجا شده می‌شود و در پایان عبور سوم به مقدار 78° می‌رسد.

۳. آزمون‌های مکانیکی

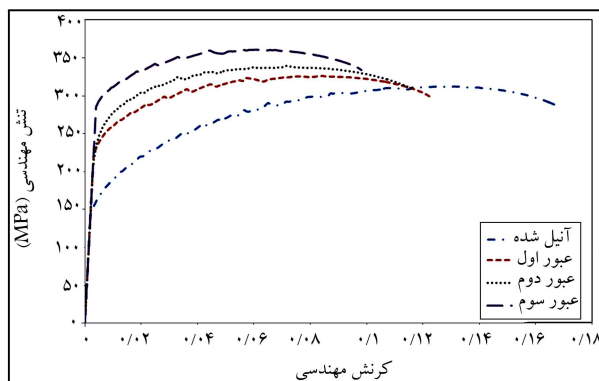
برای بررسی خواص ورق‌های تولید شده با فرایند نورد در کانال‌های همسان زاویه‌دار سه آزمون کشش استاندارد، آزمون خستگی و آزمون ریزسختی و یکرز انتخاب شده است. نمونه‌ها را به منظور آزمون کشش توسط دستگاه سیم برش^۵ در راستای نورد برش دادیم. خواص کششی ورق‌ها مطابق استاندارد ASTM E8-12 است، و روش آزمون استاندارد برای تعیین خواص کششی مواد فلزی^[۱۶] تعیین شده است. ابعاد نمونه‌ی کشش مطابق این استاندارد انتخاب شده است (شکل ۳). طول دهانه^۶ می‌نمونه برابر 6 میلی‌متر است. آزمون‌ها با نزد کرنش $5 \times 10^{-3} \times 5$ انجام و برای حصول اطمینان از دقت نتایج، هر آزمون 3 بار تکرار شده است.

آزمون سختی، براساس آزمون میکروسختی و یکرز با نیروی معادل 200 گرم، بر سطح ورق‌ها انجام شد. برای هر نمونه سه بار تکرار صورت پذیرفت و میانگین داده‌ها گزارش شد.

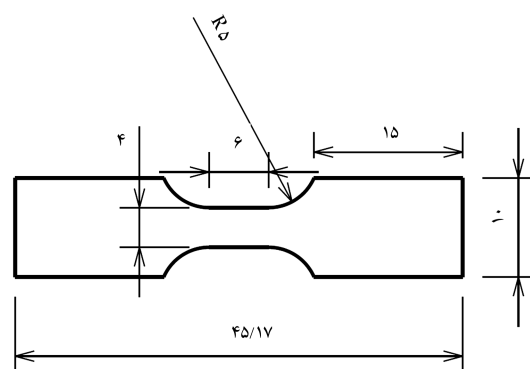
برای آزمون خستگی نمونه‌هایی با همان مشخصات آزمون کشش (همان ابعاد و راستا که در جهت نورد ورق‌ها بود) تهیه شده است. براساس استاندارد ASTM E606M، روش استاندارد برای آزمون خستگی کرنش - کشش^[۱۷]



شکل ۲. ورق آلمینیومی پیش از ECAR و پس از عبورهای اول، دوم و سوم.



شکل ۴. تغییرات استحکام تسلیم، استحکام کششی نهایی، و درصد ازدیاد طول بر حسب تعداد عبور از کانال.



شکل ۳. ابعاد نمونه‌های آزمون کشش و خستگی (ابعاد بر حسب میلی‌متر).

خستگی -- شامل دامنه‌ی کرنش، کرنش میانگین و عمر خستگی -- در جدول ۲ گزارش شده است.

با توجه به نتایج بیان شده در جدول ۲ با کاهش دامنه‌ی کرنش اعمالی، عمر خستگی به طور پیوسته افزایش می‌یابد. اما از طرفی مشاهده می‌شود که با افزایش تعداد عبورهای ورق از قالب‌های ECAR عمر خستگی کاهش می‌یابد. عمر ورق‌های بازپخته نسبت به ورق‌های با ۲ بار عبور بیشتر است و ورق‌های با ۲ بار عبور نیز در مقایسه با ورق‌های با ۳ بار عبور تعداد چرخه‌های بیشتری را تا شکست کامل نمونه طی می‌کنند. به عنوان مثال در دامنه‌ی کرنش کلی $4^{\circ}/4^{\circ}$ نمونه‌ی که در ۳ عبور تحت فرایند ECAR قرار گرفته، تنها حدود 6000 چرخه را تا شکست طی می‌کند. نمونه‌ی که تحت ۲ بار عبور فرایند ECAR تولید شد، پس از تحمل حدود 12500 چرخه دچار شکست می‌شود. در حالی که نمونه‌ی بازپخته که تحت فرایند ECAR قرار نگرفته، پس از طی تقریباً 80000 چرخه دچار واماندگی می‌شود که در مقایسه با عمر نمونه‌های ECAR متدار بسیار بزرگی است.

ساختار مواد پس از فرایندهای تغییر شکل پلاستیک شدید بهبود می‌یابد و دانه‌بندی ریزتر می‌شود. دانه‌بندی‌های کوچک تمایل دارند که در برابر جوانه‌زنی و رشد ریزترک‌ها از خود مقاومت نشان دهند. مرزدانه‌ها در نقش منحرف‌کننده یا متوقف‌کننده ترک عمل می‌کنند، بنابراین نزخ رشد ترک خستگی کاهش می‌یابد. با این وجود همچنان که ترک در این مواد رشد می‌کند و رشد ترک‌های بزرگ بر اتفاق می‌افتد، دانه‌بندی ریز باعث هموارتر شدن مسیر ترک، و افزایش نزخ رشد ترک می‌شود. در ادبیات موضوع سازوکارهای برای توجیه کاهش عمر خستگی پس از فرایند ECAR ذکر شد. مهم‌ترین دلیل ناپایداری ساختار و بزرگ شدن دانه‌ها در طول آزمون خستگی است. دیگر موارد تأثیرگذار تشکیل ریزباندهای برشی متشکل از نابهجهای‌های درهم‌تنیده و تشکیل باندهای برشی بزرگ‌تر، و نیز تجمع موضعی کرنش بوده است. علاوه بر این، افزایش نزخ رشد ترک خستگی گزارش شده عمدها به دلیل پیچ خورده‌گی کمتر مسیر ترک بوده است.^[12] در روش آزمون کرنش - کنترل عمر مواد وابسته به کرنش شکست و بیشترین افزایش طول مواد است، و چون مطابق نتایج بخش قبل، نرمی ماده پس از انجام فرایند ECAR کاهش یافته، عمر مواد نیز کاهش می‌یابد.

جدول ۲. نتایج آزمون خستگی.

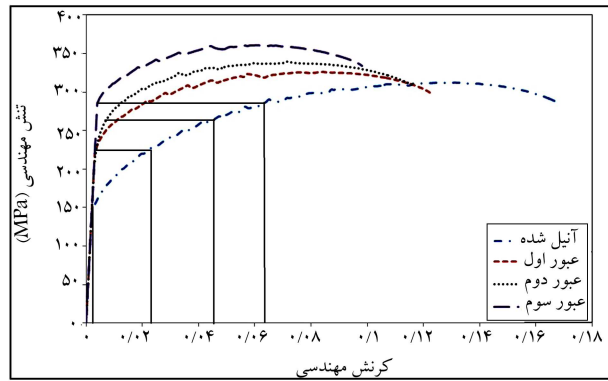
نمونه	کرنش میانگین (%)	نسبت کرنش (%)	دامنه‌ی کرنش (۲N _f)	عمر خستگی (۲N _f)
آنیل شده	۳,۷۷	۰,۵۳	۰,۷۵	۴۰۹۸
عبور دوم	۳,۱۷۶	۰,۴۴	۰,۷۵	۱۵۹۲۰
عبور سوم	۲,۷۹۷	۰,۳۹	۰,۷۵	۷۹۹۹۴۵
عبور دوم	۴,۳۰	۰,۵۹	۰,۷۵	۲۵۸۲
عبور سوم	۳,۴۶۷	۰,۴	۰,۷۵	۶۰۸۹
عبور سوم	۳,۵۴۷	۰,۳۸	۰,۷۵	۱۲۴۹۵
عبور سوم	۲,۹۸	۰,۳۲	۰,۷۵	۴۲۲۳۶
عبور سوم	۲,۳۳۸	۰,۵۶	۰,۷۵	۹۰۱
عبور سوم	۲,۰۰۴	۰,۴۸	۰,۷۵	۲۳۴۱
عبور سوم	۱,۲۳۴	۰,۴۱	۰,۷۵	۱۲۰۴۰

است. همچنین ذات فرایند به‌گونه‌ی است که علاوه بر تنش برشی، میزان قابل توجهی نیز تنش فشاری به ماده وارد می‌شود که باعث پیچیده شدن وضعیت تنش در نمونه می‌شود، به‌طوری که ماده تحت تنش ایزواستاتیک قرار می‌گیرد؛ تخمین این فشار تنها با داشتن رفتار ماده در آزمون فشار امکان‌پذیر است. این موضوع همراه با وجود اثرتی مانند دانه‌بندی مجدد دینامیکی^[7] پلاستیسیته‌ی کرستالی^[8] باعث می‌شود که نتوان از مدل کارسختی ایزوتوپیک برای پیش‌بینی استحکام تسلیم جدید با استفاده از کرنش معادل فرایند استفاده کرد. موارد بیان شده باعث شده که تاکنون محققین تمايزی به استفاده از کرنش معادل فرایند برای تخمين استحکام تسلیم با استفاده از خواص کارسختی نمونه نداشته باشند. اما رویه‌ی فوق را می‌توان به صورت معکوس طی کرد، یعنی با داشتن استحکام تسلیم پس از هر بار عبور نمونه از قالب، میزان کرنش القابی را تخمین زد (شکل ۵).

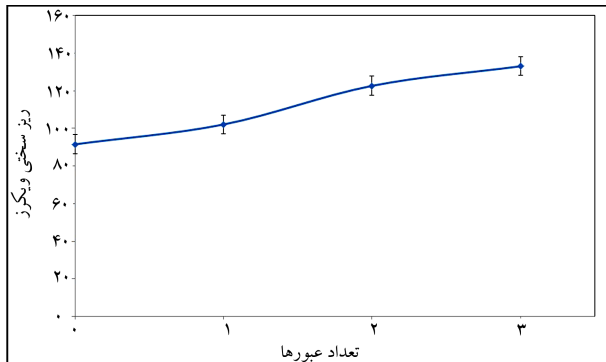
چنان‌که مشاهده می‌شود با هر بار عبور نمونه از کanal، کرنشی برابر $2^{\circ}/5^{\circ}$ در قطعه‌القا می‌شود که با کمک آن می‌توان استحکام تسلیم در نمونه‌های با عبور بیشتر و حتی تعداد عبور قابل انجام را نیز تخمین زد.

نتایج آزمون ریزسختی و یکرزورق‌های آلومینیومی تولیدشده در عبورهای مختلف ECAR در شکل ۶ گزارش شده است. این تصویر افزایش ریزسختی هم‌زمان با افزایش تعداد عبورها را در سطح تماس ورق‌ها با غلتک‌ها نشان می‌دهد. عمل این امر را می‌توان در تجمع کرنش سختی ناشی از کرنش‌های برشی بالایی که در طول فرایند بر اثر اصطکاک بین سطح ورق و غلتک‌ها شود، بیان کرد.

در این تحقیق مجموعاً ده نمونه تحت آزمون خستگی قرار گرفتند. این نمونه‌ها از ورق‌های آلومینیومی بازپخته و ورق‌هایی که ۲ و ۳ بار از قالب‌های فرایند نورد در کanal‌های همسان زاویه دار عبور کرده‌اند، تهیه شد. نتایج حاصل از انجام آزمون‌های



شکل ۵. ارتباط میان استحکام تسلیم و کرنش القابی در هر عبور.



شکل ۶. تغییرات ریزسختی بر حسب تعداد عبور از کanal.

۵. نتیجه‌گیری

فرایند نورد در کانال‌های همسان زاویه‌دار قرار گرفته است، دیده می‌شود.

فرایند نورد در کانال‌های همسان زاویه‌دار برای تولید ورق‌های آلومینیومی با استحکام بالا مورد استفاده قرار گرفته است. مهم‌ترین دستاوردهای مطالعه‌ی حاضر را می‌توان چنین برشمرد:

- سختی نمونه پس از هربار عبور فرایند نورد در کانال‌های همسان زاویه‌دار افزایش می‌یابد. سختی ورق در سطح دارای تماس با غلتک‌ها پس از سه عبور ۱/۵ برابر سختی ورق اولیه است.
- بررسی‌های خستگی حاکی از افت خواص خستگی ماده در محدوده‌ی خستگی کم‌چرخه است. با هر بار عبور فرایند نورد در کانال‌های همسان زاویه‌دار، عمر خستگی کاهش شدیدی نشان می‌دهد.
- پس از فرایند ECAR، ورق‌هایی با استحکام و سختی بالا و در عین حال شکل‌پذیری و عمر خستگی پایین به دست می‌آید.

پابنوشت‌ها

1. ultra-fine grains
2. severe plastic deformation
3. equal channel angular rolling
4. equal channel angular pressing
5. wire cut
6. gauge length
7. dynamic recrystallization
8. crystal plasticity

(References) منابع

1. Valiev, R.Z. and Langdon, T.G. "Principles of equal-channel angular pressing as a processing tool for grain refinement", *Progress in Materials Science*, **51**, pp. 881-981 (2006).
2. Kommel, L., Hussainova, L. and Volobueva, O. "Microstructure and properties development of copper during severe plastic deformation", *Materials and Design*, **28**, pp. 2121-2128 (2007).
3. Kumar, K.S., Swygenhoven, H.V. and Suresh, S. "Mechanical behavior of nanocrystalline metals and alloys", *Acta Materialia*, **51**, pp. 5743-5774 (2003).
4. Zhu, Y.T., Lowe, T.C. and Langdon, T.G. "Performance and applications of nanostructured materials produced by severe plastic deformation", *Scripta Materialia*, **51**, pp. 825-830 (2004).
5. Han, J.H., Oh, K.H. and Lee, J.C. "Effect of accumulative starin on texture evolution in 1050 alloys processing by continuous confined strip shearing", *Materials Science and Engineering A*, **387**, pp. 240-243 (2004).
6. Mahmoodi, M., Sedighi, M. and Tanner, D.A. "Investigation of through thickness residual stress distribution in equal channel angular rolled Al 5083 alloy by layer removal technique and X-ray diffraction", *Materials and Design*, **40**, pp. 516-520 (2012).
7. Segal, V. "Material processing by simple shear", *Material Science and Engineering A*, **197**, pp. 157-164 (1995).
8. Habibi, A., Katabchi, M. and Eskandarzadeh, M. "Nano grained pure copper with high-strength and high-conductivity produced by equal channel angular rolling process", *Journal of Materials Processing Technology*, **211**, pp. 1085-1090 (2011).
9. Chen, Y.Q. and Xia, Z.H. "Effect of crystal orientation on the ductility in AZ31 Mg alloys sheets produced by equal channel angular rolling", *Material Science and Engineering A*, **42**, pp. 3552-3556 (2007).
10. Hoppel, H.W., Kautz, M., Xu, C., Murashkin, M., Langdon, T.G., Valiev, R.Z. and Mughrabi, H. "An overview: Fatigue behaviour of ultrafine-grained metals and alloys", *International Journal of Fatigue*, **28**, pp. 1001-1010 (2006).
11. Park, S.H., Hong, S.G., Lee, B.H., Bang, W. and Lee, C.S. "Low-cycle fatigue characteristics of rolled Mg-3Al-1Zn alloy", *International Journal of Fatigue*, **32**, pp. 1835-1842 (2010).
12. ASTM B918/B918M-09, *Standard Practice for Heat Treatment of Wrought Aluminum Alloys*, ASTM International, West Conshohocken, PA (2009).
13. ASTM E8/E8M-13a, *Standard Test Methods for Tension Testing of Metallic Materials*, ASTM International, West Conshohocken, PA (2013).
14. ASTM E606/E606M-12, *Standard Test Method for Strain-Controlled Fatigue Testing*, ASTM International, West Conshohocken, PA (2012).
15. Mahmoodi, M. "The effect of parameters on residual stress and mechanical properties of equal channel angular rolled sheets", Ph.D. Thesis, *Iran University of Science and technology*, (in Persian) (2012).
16. Aydin, M. "High-cycle fatigue behavior of severely plastically deformed binary Zn-60Al alloy by equal-channel angular extrusion", *Journal of Materials Processing Technology*, **212**, pp. 1780-1789 (2012).